



Universidade de Brasília



Laboratório  
Compartilhado de Ensino e  
Pesquisa em Telecomunicações

# Conversão Analógico-Digital

## Capítulo 7 (Proakis) e Capítulo 5 (Lathi)

Prof. Daniel Costa Araújo

Universidade de Brasília  
Laboratório de Telecomunicações

February 19, 2026



# Sumário

- 1 Amostragem
- 2 Quantização
- 3 PCM e Companding

# Capítulo 7

Conversão Analógico-Digital

Amostragem, Quantização, PCM e Companding



# Por Que Digitalizar Sinais?

O mundo é analógico:

- Voz humana → pressão de ar contínua
- Música → ondas mecânicas
- Temperatura, pressão, tensão elétrica...

Computadores só entendem 0 e 1.

Precisamos **converter** o sinal analógico para digital (ADC).

Aplicações cotidianas:

- **Telefonia:**  $f_s = 8 \text{ kHz}$ , 8 bits
- **CD de áudio:**  $f_s = 44,1 \text{ kHz}$ , 16 bits
- **Wi-Fi / 5G:** ADC em GHz!

Cadeia ADC — 3 etapas:

- ① **Amostragem**
- ② Quantização
- ③ Codificação (PCM)



## Modelo Matemático do Amostrador Ideal

Seja  $g(t)$  um sinal passa-baixas limitado em banda:

$$G(f) = 0 \quad \text{para } |f| \geq W$$

O amostrador ideal multiplica  $g(t)$  por um **trem de impulsos de Dirac** ("pente") espaçado de  $T_s$ :

$$\delta_{T_s}(t) = \sum_{n=-\infty}^{\infty} \delta(t - nT_s) \quad T_s = \frac{1}{f_s}$$

O sinal amostrado resultante é:

$$g_s(t) = g(t) \cdot \delta_{T_s}(t)$$

Questão fundamental: qual o menor  $f_c$  que ainda permite reconstruir  $g(t)$  com perfeição?



## Derivação — Passo 1: Sinal Amostrado no Tempo

Expandindo  $g_s(t)$  com a definição do trem de impulsos:

$$g_s(t) = g(t) \cdot \sum_{n=-\infty}^{\infty} \delta(t - nT_s) = \sum_{n=-\infty}^{\infty} g(t) \delta(t - nT_s)$$

Usamos a **propriedade de filtragem** da delta de Dirac:

$$x(t) \delta(t - t_0) = x(t_0) \delta(t - t_0)$$

O impulso em  $t_0$  “captura” o valor  $x(t_0)$  e descarta todo o resto do sinal.

Aplicando a cada termo da soma:

$$g_s(t) = \sum_{n=-\infty}^{\infty} g(nT_s) \delta(t - nT_s)$$



## Derivação — Passo 2: Transformada de Fourier e Convolução

No domínio da frequência, **multiplicação no tempo** equivale a **convolução na frequência**:

$$G_s(f) = \mathcal{F}\{g_s(t)\} = \mathcal{F}\{g(t) \cdot \delta_{T_s}(t)\} = G(f) * \mathcal{F}\{\delta_{T_s}(t)\}$$

Para completar, precisamos calcular  $\mathcal{F}\{\delta_{T_s}(t)\}$  — a transformada do trem de impulsos.

### Passo 3 — Transformada do Trem de Impulsos

O trem de impulsos é periódico com período  $T_s$ . Desenvolvendo-o em Série de Fourier exponencial, todos os coeficientes têm o mesmo módulo  $1/T_s = f_s$ . Portanto:

$$\mathcal{F}\left\{\sum_{n=-\infty}^{\infty} \delta(t - nT_s)\right\} = f_s \sum_{k=-\infty}^{\infty} \delta(f - k f_s)$$

Conclusão elegante: um trem de impulsos no tempo gera outro trem de impulsos na frequência.



## Derivação — Passo 4: Convolução com o Trem de Impulsos

Substituindo em  $G_s(f) = G(f) * \mathcal{F}\{\delta_{T_s}(t)\}$ :

$$G_s(f) = G(f) * \left( f_s \sum_{k=-\infty}^{\infty} \delta(f - k f_s) \right)$$

Pela **distributividade** da convolução, levamos  $*$  para dentro do somatório:

$$G_s(f) = f_s \sum_{k=-\infty}^{\infty} G(f) * \delta(f - k f_s)$$

Aplicamos a propriedade de **deslocamento por convolução**:

$$X(f) * \delta(f - f_0) = X(f - f_0)$$



## Resultado: Espectro do Sinal Amostrado

### Espectro do Sinal Amostrado

$$G_s(f) = f_s \sum_{k=-\infty}^{\infty} G(f - k f_s)$$

O espectro de  $g_s(t)$  é uma soma periódica de réplicas de  $G(f)$ , cada uma deslocada de  $k f_s$  e escalada por  $f_s$ .

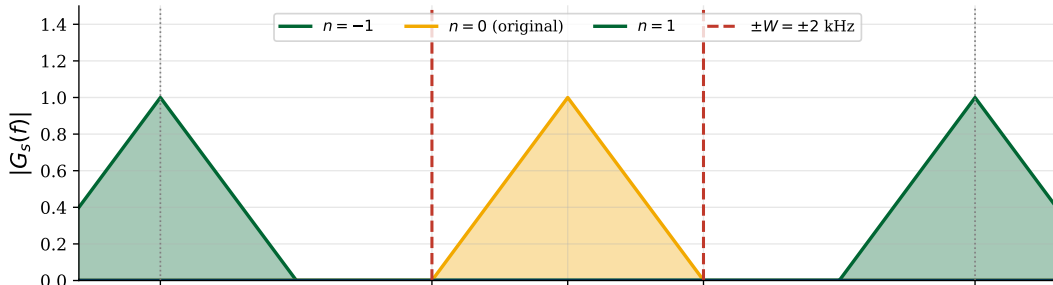
### Consequências imediatas:

- A amostragem **repete o espectro** a cada  $f_s$  Hz.
- Se as réplicas não se sobrepõem,  $G(f)$  pode ser isolada com um filtro passa-baixas ideal de corte em  $W$ .
- Se houver sobreposição ⇒ **aliasing** — distorção irrecuperável

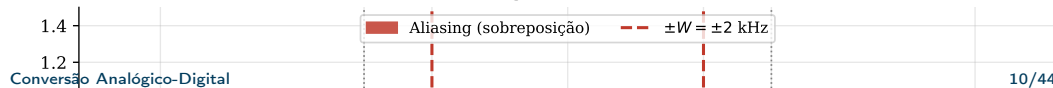


# Visualização do Espectro Amostrado

(a) Sem aliasing:  $f_s = 6 \text{ kHz} > 2W = 4 \text{ kHz}$



(b) Com aliasing:  $f_s = 3 \text{ kHz} < 2W = 4 \text{ kHz}$





## Condição de Nyquist — Derivação

Para reconstrução perfeita, as réplicas **não podem se sobrepor**.

- Réplica em  $k = 0$ : ocupa  $[-W, +W]$
- Réplica em  $k = 1$ : ocupa  $[f_s - W, f_s + W]$

Para que as réplicas em  $k = 0$  e  $k = 1$  não se sobreponham, o início da réplica em  $f_s$  deve estar além do fim da réplica em 0:

$$f_s - W > W \implies f_s > 2W$$

### Teorema de Nyquist-Shannon

Um sinal  $g(t)$  com espectro limitado a  $[-W, W]$  Hz pode ser **perfeitamente reconstruído** a partir de suas amostras  $\{g(nT_s)\}$  se, e somente se:



## Aliasing: O Que Acontece Quando $f_s < 2W$ ?

**Aliasing** = sobreposição das réplicas espectrais.

**Efeito prático:** uma componente de frequência  $f_0 > f_s/2$  “se disfarça” de uma frequência espúria  $f_{\text{alias}} = |f_0 - f_s|$  no sinal recuperado.

**Exemplo numérico:** sinal em  $f_0 = 800$  Hz amostrado com  $f_s = 900$  Hz.

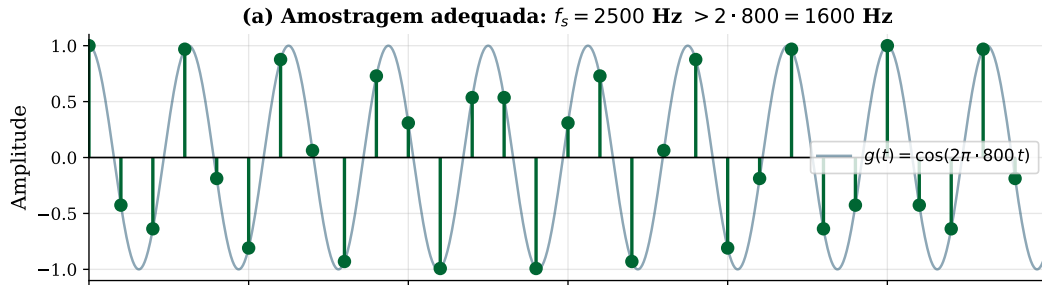
$$f_{\text{alias}} = |800 - 900| = 100 \text{ Hz} \quad \leftarrow \quad \text{frequência completamente errada!}$$

**Observação:** uma vez que o aliasing ocorre, a informação perdida **não pode ser recuperada**.

**Solução na prática:** inserir um **filtro anti-aliasing** (passa-baixas analógico com corte em  $f_s/2$ ) antes do amostrador, garantindo que o sinal seja estritamente limitado em banda.



# Aliasing — Demonstração Visual

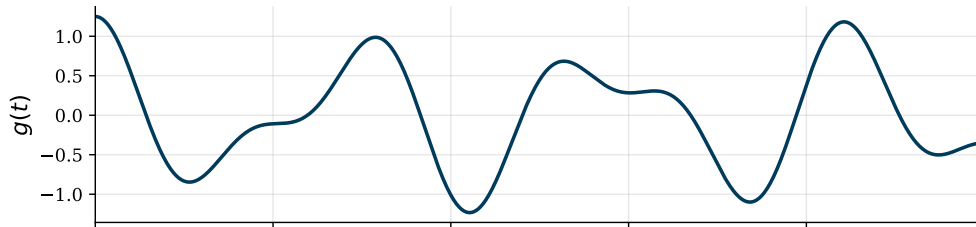


**(b) Subamostragem:**  $f_s = 900 \text{ Hz} < 2 \cdot 800 = 1600 \text{ Hz} \rightarrow \text{Alias em } 100 \text{ Hz!}$



# Amostragem no Domínio do Tempo

(a) Sinal original  $g(t)$  — contínuo no tempo



(b) Trem de impulsos ( $T_s = 33.3 \text{ ms}$ ,  $f_s = 30 \text{ Hz}$ )





## Reconstrução: Filtro Passa-Baixas Ideal

Se  $f_s > 2W$ , podemos recuperar  $g(t)$  exatamente filtrando  $g_s(t)$  com um filtro passa-baixas ideal de corte em  $W$ :

$$H(f) = \frac{1}{f_s} \operatorname{rect}\left(\frac{f}{2W}\right) \implies \hat{G}(f) = G_s(f) \cdot H(f) = G(f)$$

No domínio do tempo, o filtro ideal corresponde a um pulso sinc:

$$h(t) = \mathcal{F}^{-1}\{H(f)\} = \frac{2W}{f_s} \operatorname{sinc}(2Wt)$$

A reconstrução completa do sinal contínuo é a **interpolação sinc**:

$$g(t) = \sum_{n=-\infty}^{\infty} g(nT_s) \operatorname{sinc}\left(\frac{t - nT_s}{T_s}\right)$$



## Por Que Quantizar?

Após a amostragem, temos  $g[n] = g(nT_s)$ : discreto no tempo, mas com **amplitude ainda contínua**.

### O problema:

- Um processador só armazena valores **discretos**
- Com  $n$  bits há apenas  $2^n$  valores representáveis
- Amplitudes contínuas **precisam ser arredondadas**

### Analogia cotidiana:

- Régua com marcas a cada 1 mm
- 23,731 mm  $\rightarrow$  23,7 mm
- O erro é inevitável — só reduzível

### A questão central:

- Conversão Analógico-Digital: como a quantização introduz?



## O Quantizador Uniforme

Seja  $g[n]$  com faixa de amplitude  $[V_{\min}, V_{\max}]$ .

Dividindo a faixa total  $V_{pp} = V_{\max} - V_{\min}$  em  $L$  intervalos **iguais**, o tamanho de cada degrau é:

$$\Delta = \frac{V_{pp}}{L}$$

O  $k$ -ésimo intervalo cobre  $[V_{\min} + k\Delta, V_{\min} + (k + 1)\Delta]$  e é mapeado para o seu **ponto médio**:

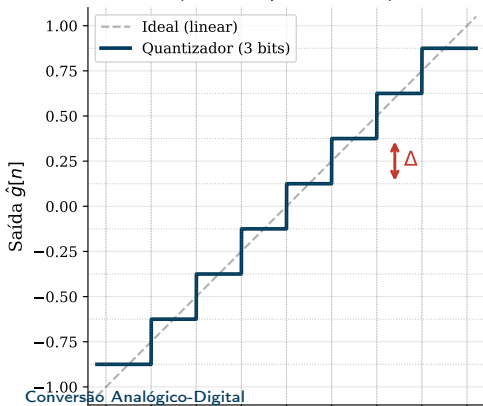
$$\hat{g}[n] = V_{\min} + \left(k + \frac{1}{2}\right)\Delta, \quad k = 0, 1, \dots, L - 1$$

A saída é uma **função escada**: cada amplitude de entrada é arredondada para o nível de quantização mais próximo.

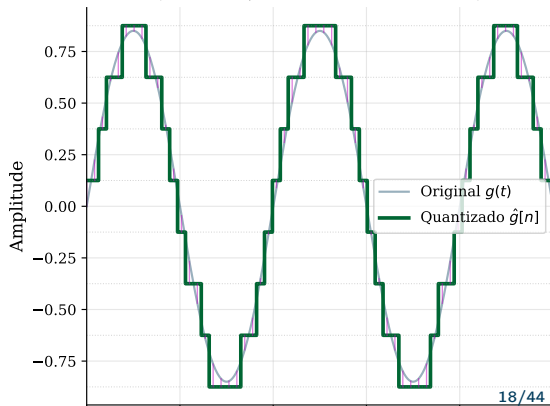
Com  $b$  bits podemos representar  $L = 2^b$  níveis.

# Característica do Quantizador

**(a) Característica do Quantizador**  
 $(n = 3 \text{ bits}, L = 8 \text{ níveis})$



**(b) Sinal Original vs. Quantizado**  
 $(n = 3 \text{ bits}, \text{erro indicado em roxo})$





## O Erro de Quantização

O **erro de quantização** é a diferença entre o valor quantizado e o valor real:

$$e_q[n] = \hat{g}[n] - g[n]$$

Como o quantizador mapeia cada amostra para o **ponto médio** de seu intervalo  $\Delta$ , o erro fica sempre limitado a:

$$-\frac{\Delta}{2} \leq e_q[n] \leq +\frac{\Delta}{2}$$

### Compromisso fundamental:

- Erro menor  $\Rightarrow \Delta$  menor  $\Rightarrow$  mais níveis  $L = V_{pp}/\Delta \Rightarrow$  mais bits  $n = \log_2 L$
- Aumentar  $n$  em 1 bit  $\Rightarrow \Delta$  cai pela metade  $\Rightarrow$  erro máximo cai pela metade



## Modelo Estatístico do Erro de Quantização

Hipóteses do modelo de ruído de quantização (válidas para  $L$  grande e sinal variando rapidamente):

- ①  $e_q[n]$  é uma **variável aleatória uniforme** em  $[-\Delta/2, +\Delta/2]$
- ② Erros em amostras consecutivas são **não-correlacionados**
- ③ O erro é **independente** do sinal de entrada

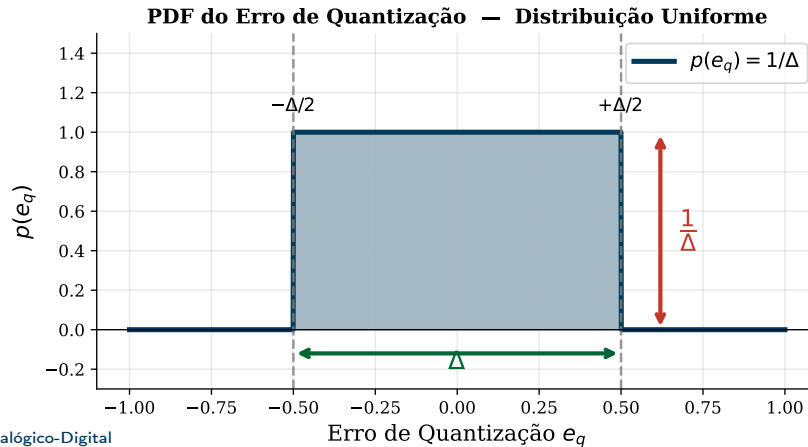
Sob essas hipóteses, a função de densidade de probabilidade (PDF) é:

$$p(e_q) = \begin{cases} \frac{1}{\Delta}, & \text{se } -\frac{\Delta}{2} \leq e_q \leq \frac{\Delta}{2} \\ 0, & \text{caso contrário} \end{cases}$$

Cada valor do erro é **igualmente provável** dentro do intervalo.



# PDF do Erro de Quantização





## Derivação de $P_q$ — Passo 1: Definição Formal

A potência do ruído de quantização  $P_q$  é o valor esperado do *quadrado* do erro:

$$P_q = E[e_q^2]$$

Para uma variável aleatória contínua, o valor esperado de uma função  $f(e_q)$  é calculado como:

$$E[f(e_q)] = \int_{-\infty}^{+\infty} f(e_q) p(e_q) de_q$$

Portanto, a definição formal de  $P_q$  é:

$$P_q = \int_{-\infty}^{+\infty} e_q^2 p(e_q) de_q$$

*Interpretacão:* pesamos  $e_q^2$  pela sua probabilidade  $p(e_q)$  e somamos (integrados) sobre todos



## Derivação de $P_q$ — Passo 2: Substituição da PDF

Como  $p(e_q) = 1/\Delta$  somente no intervalo  $[-\Delta/2, +\Delta/2]$  e zero fora dele, podemos restringir os limites da integral:

$$P_q = \int_{-\Delta/2}^{+\Delta/2} e_q^2 \cdot \frac{1}{\Delta} de_q$$

### Passo 3 — Resolver a integral

A constante  $1/\Delta$  sai da integral:

$$P_q = \frac{1}{\Delta} \int_{-\Delta/2}^{+\Delta/2} e_q^2 de_q$$

A primitiva de  $e_q^2$  é  $e_q^3/3$ . Aplicando o teorema fundamental do cálculo:

$$1 \left[ e_q^3 \right]_{-\Delta/2}^{+\Delta/2} = 1/3 ((\Delta/2)^3 - (-\Delta/2)^3)$$



## Derivação de $P_q$ — Passo 4: Simplificação

Calculamos os cubos:

$$\left(\frac{\Delta}{2}\right)^3 = \frac{\Delta^3}{8}, \quad \left(-\frac{\Delta}{2}\right)^3 = -\frac{\Delta^3}{8}$$

Substituindo na expressão anterior:

$$P_q = \frac{1}{\Delta} \cdot \frac{\frac{\Delta^3}{8} - \left(-\frac{\Delta^3}{8}\right)}{3} = \frac{1}{\Delta} \cdot \frac{2 \cdot \frac{\Delta^3}{8}}{3} = \frac{1}{\Delta} \cdot \frac{\Delta^3}{12}$$

Cancelando um fator  $\Delta$ :

$$P_q = \frac{\Delta^2}{12}$$



## Relação Sinal-Ruído de Quantização (SQNR)

A qualidade da quantização é medida pelo **SQNR** (*Signal-to-Quantization-Noise Ratio*):

$$\text{SQNR} = \frac{P_s}{P_q} = \frac{P_s}{\Delta^2/12} = \frac{12 P_s}{\Delta^2}$$

Expressando  $\Delta$  em termos do número de bits  $n$  ( $L = 2^n$  níveis, faixa  $V_{pp}$ ):

$$\Delta = \frac{V_{pp}}{2^n} \implies \text{SQNR} = \frac{12 P_s}{(V_{pp}/2^n)^2} = \frac{12 P_s}{V_{pp}^2} \cdot 2^{2n}$$

**Observação:**  $2^{2n} = 4^n$ . Adicionar 1 bit multiplica o SQNR por 4 (ou seja, +6 dB).



## SQNR para um Sinal Senoidal — Derivação

**Caso prático:** senoide  $g(t) = A \cos(\omega t)$  que ocupa **toda a faixa** do quantizador.

Parâmetros:

$$V_{pp} = A - (-A) = 2A, \quad P_s = \frac{A^2}{2} \quad (\text{potência média da senoide})$$

Substituindo na expressão geral do SQNR:

$$\text{SQNR} = \frac{12 \cdot (A^2/2)}{(2A)^2} \cdot 2^{2n} = \frac{6A^2}{4A^2} \cdot 2^{2n} = \frac{3}{2} \cdot 2^{2n} = 1,5 \cdot 4^n$$

Convertendo para decibéis ( $X_{\text{dB}} = 10 \log_{10} X$ ):

$$\text{SQNR}_{\text{dB}} = 10 \log_{10}(1,5 \cdot 4^n) = 10 \log_{10}(1,5) + n \cdot 10 \log_{10}(4)$$



## A Regra dos 6 dB por Bit

Calculando os valores numéricos dos logaritmos:

$$10 \log_{10}(1,5) \approx 1,76 \text{ dB}, \quad 10 \log_{10}(4) \approx 6,02 \text{ dB}$$

Portanto:

$$\text{SQNR}_{\text{dB}} \approx 1,76 + 6,02 n$$

### Regra dos 6 dB/bit (senoide em faixa cheia)

$$\text{SQNR}_{\text{dB}} \approx 1,76 + 6,02 n \text{ dB}$$

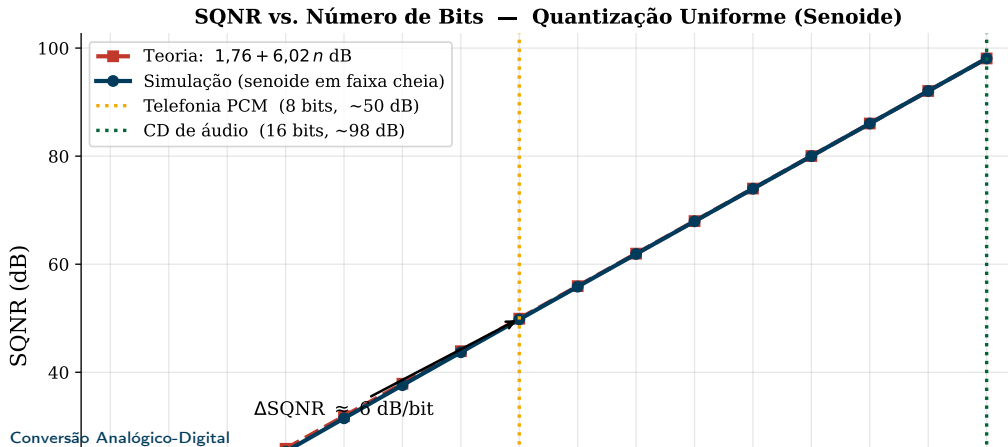
Cada bit adicional eleva o SQNR em  $\approx 6 \text{ dB}$ .

#### Exemplos práticos:

- Conversão Analógico-Digital:  $\text{SQNR} \approx 50 \text{ dB}$  (telefonia PCM)

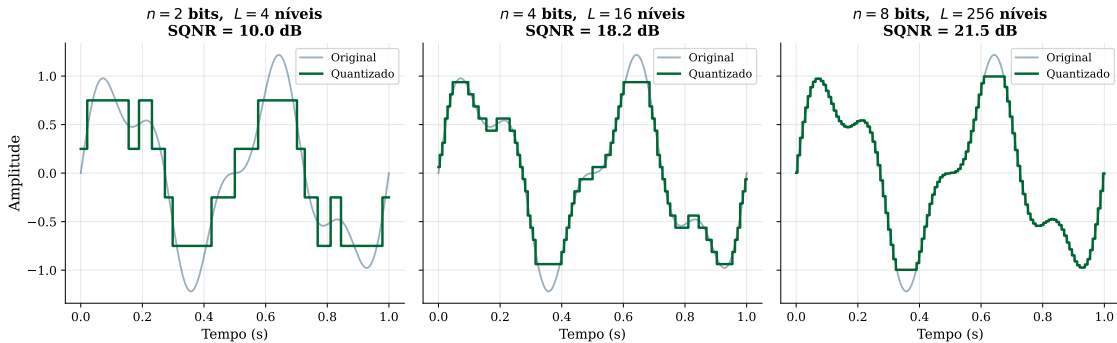


# SQNR vs. Número de Bits — Confirmação Numérica



# Efeito da Resolução na Qualidade do Sinal

Efeito do Número de Bits na Qualidade da Quantização



Com  $n = 2$  bits a forma de onda é severamente distorcida. Com  $n = 8$  bits a diferença para o sinal original é

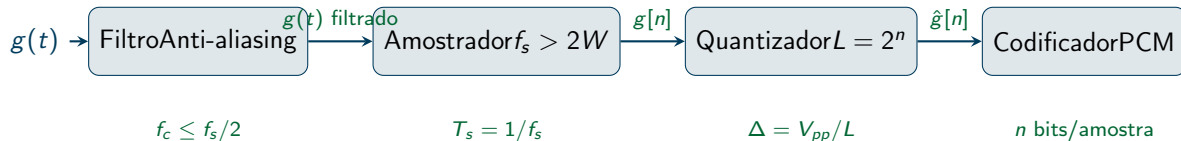


# Implementação em Python

```
1 import numpy as np
2
3 def quantize_uniform(x, n_bits, v_min=-1.0, v_max=1.0):
4     L      = 2**n_bits                      # numero de niveis
5     delta = (v_max - v_min) / L             # tamanho do passo
6     x_c   = np.clip(x, v_min, v_max)        # limitar faixa
7     idx   = np.floor((x_c - v_min)/delta).astype(int)
8     idx   = np.clip(idx, 0, L-1)
9     return v_min + (idx + 0.5) * delta      # ponto medio
10
11 # Calcular SQNR para varios numeros de bits
12 t = np.linspace(0, 100, 1_000_000)
13 g = np.sin(2*np.pi*t)                   # senoide em faixa cheia
14
15 for n in [4, 8, 16]:
16     g_q  = quantize_uniform(g, n)
17     sqnr = 10 * np.log10(np.mean(g**2) / np.mean((g_q-g)**2))
18
19 Conversão Analógico Digital 6.02*n
```



# A Cadeia ADC Completa



Cada etapa tem parâmetros de projeto que determinam a qualidade e a taxa de bits resultante.



## Codificação Binária: PCM

Após a quantização, cada nível  $\hat{g}[n]$  recebe uma palavra binária de  $n$  bits (representação PCM).

Com  $n$  bits podemos representar  $L = 2^n$  níveis:

$$L = 2^n \iff n = \log_2 L$$

Exemplo com  $n = 3$  bits ( $L = 8$  níveis):

Índice $k$	Código binário	Nível $\hat{g}$
0	000	$V_{\min} + 0,5\Delta$
1	001	$V_{\min} + 1,5\Delta$
:	:	:



## Taxa de Bits e Largura de Banda PCM

A taxa de bits (bit rate) do canal PCM é:

$$R_b = n \cdot f_s \quad [\text{bits/s}]$$

onde  $n$  é o número de bits por amostra e  $f_s$  é a taxa de amostragem.

A largura de banda mínima necessária para transmitir o PCM (sem inter-símbolos) é:

$$B_{\min} = \frac{R_b}{2} = \frac{n f_s}{2}$$

### Compromisso clássico:

- Qualidade alta  $\Rightarrow n$  grande  $\Rightarrow R_b$  alto  $\Rightarrow$  mais largura de banda
- Largura de banda limitada  $\Rightarrow n$  reduzido  $\Rightarrow$  mais ruído de quantização



## Exemplo de Projeto PCM: Telefonia Digital

Parâmetros do canal de voz (ITU-T G.711):

- Largura de banda da voz:  $W = 4 \text{ kHz}$
- Taxa de amostragem escolhida:  $f_s = 8 \text{ kHz}$  (garante  $f_s > 2W$ , com margem)
- Resolução:  $n = 8 \text{ bits/amostra}$  ( $L = 256$  níveis)

Taxa de bits por canal:

$$R_b = n \cdot f_s = 8 \times 8000 = 64 \text{ kb/s}$$

SQNR máximo (senoide):

$$\text{SQNR}_{\text{dB}} \approx 1,76 + 6,02 \times 8 \approx 50 \text{ dB}$$

**Observação:** 50 dB é adequado para inteligibilidade da voz, mas ainda abaixo da qualidade de áudio de alta fidelidade (CD:  $\sim 98$  dB).



## Por Que Companding? Motivação

Problema com quantização uniforme para a voz:

A amplitude da voz humana **não tem distribuição uniforme** — amplitudes pequenas são muito mais frequentes do que amplitudes grandes.

Com quantização uniforme:

- Os poucos níveis disponíveis se distribuem **igualmente** por toda a faixa
- A maioria das amostras (pequena amplitude) usa apenas uma **pequena fração** dos níveis
- Para sinais fracos, o SQNR cai drasticamente

**Solução:** usar passos  $\Delta$  **menores perto de zero** e maiores para amplitudes altas.

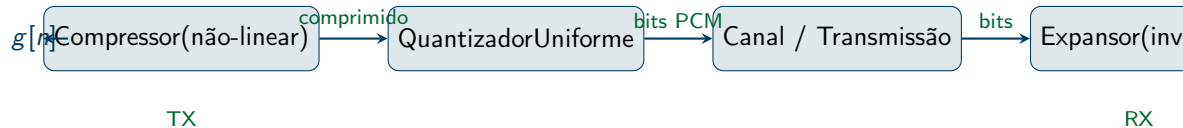
Isso é a **quantização não-uniforme**.

Na prática, implementada via **companding**: **compression + expanding**.



# O Conceito de Companding

**Companding = Compressão + Quantização Uniforme + Expansão**



- **Compressor:** amplifica amplitudes pequenas e comprime amplitudes grandes antes da quantização
- **Expansor:** aplica a função inversa no receptor para restaurar as amplitudes originais



## Lei $\mu$ : Definição Matemática

Padrão nos EUA, Canadá e Japão (ITU-T G.711,  $\mu = 255$ ):

$$C_\mu(x) = \operatorname{sgn}(x) \frac{\ln(1 + \mu |x|)}{\ln(1 + \mu)}, \quad |x| \leq 1$$

### Propriedades:

- Para  $\mu|x| \gg 1$  (sinal grande):  $C_\mu(x) \approx \operatorname{sgn}(x) \frac{\ln(\mu|x|)}{\ln(1 + \mu)}$  — compressão logarítmica
- Para  $\mu|x| \ll 1$  (sinal pequeno):  $C_\mu(x) \approx x$  — aproximadamente linear
- Caso limite:  $\mu \rightarrow 0$  recupera a quantização uniforme

A **inversão** (expansor) é:

$$C_\mu^{-1}(y) = \operatorname{sgn}(y) \frac{(1 + \mu)^{|y|} - 1}{\mu}$$



## Lei A: Definição Matemática

Padrão na Europa e em sistemas legados no Brasil (ITU-T G.711,  $A = 87,6$ ):

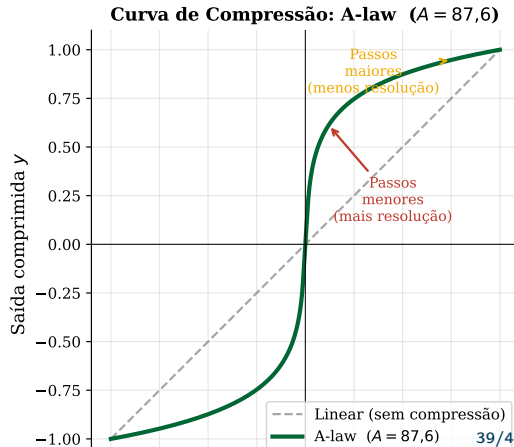
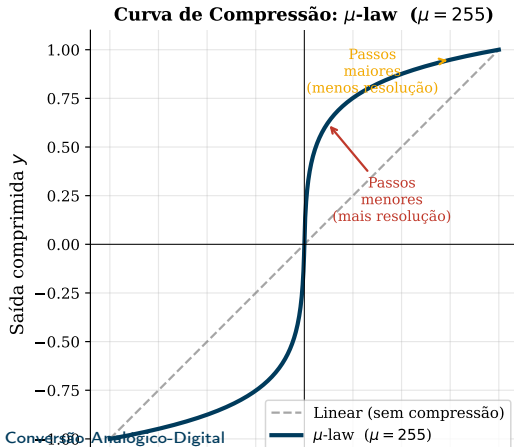
$$C_A(x) = \text{sgn}(x) \cdot \begin{cases} \frac{A|x|}{1 + \ln A}, & 0 \leq |x| < \frac{1}{A} \\ \frac{1 + \ln(A|x|)}{1 + \ln A}, & \frac{1}{A} \leq |x| \leq 1 \end{cases}$$

Diferença em relação à lei  $\mu$ :

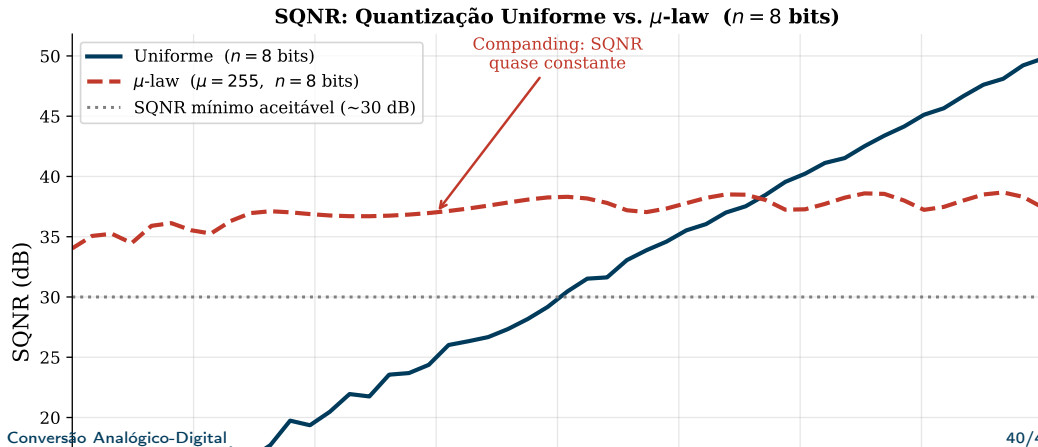
- A lei A é linear para amplitudes muito pequenas ( $|x| < 1/A$ ) e logarítmica para amplitudes maiores
- A lei  $\mu$  é logarítmica em toda a faixa
- Ambas garantem SQNR quase constante em uma ampla faixa de níveis de sinal



# Curvas de Compressão



## Comparação de SQNR: Uniforme vs. $\mu$ -law





# Implementação em Python: $\mu$ -law Companding

```
1 import numpy as np
2
3 def mu_law_compress(x, mu=255):
4     return np.sign(x) * np.log(1 + mu*np.abs(x)) / np.log(1 + mu)
5
6 def mu_law_expand(y, mu=255):
7     return np.sign(y) * (1/mu) * ((1+mu)**np.abs(y) - 1)
8
9 def quantize_uniform(x, n_bits, v_min=-1.0, v_max=1.0):
10    L    = 2**n_bits
11    d    = (v_max - v_min) / L
12    idx = np.clip(np.floor((np.clip(x, v_min, v_max)-v_min)/d), 0, L-1)
13    return v_min + (idx.astype(int) + 0.5) * d
14
15 # Pipeline de companding
16 g          = 0.05 * np.sin(2*np.pi*np.linspace(0,100,1_000_000))
17 g_comp     = mu_law_compress(g)           # compressao
18 g_q        = quantize_uniform(g_comp, 8) # quantizacao uniforme
```



## Resumo: Conversão Analógico-Digital

### Resultado 1 — Amostragem (Nyquist-Shannon)

$$f_s > 2W \implies G_s(f) = f_s \sum_{k=-\infty}^{\infty} G(f - k f_s)$$

### Resultado 2 — Ruído de Quantização

$$P_q = \frac{\Delta^2}{12}, \quad \Delta = \frac{V_{pp}}{2^n}$$

### Resultado 3 — SQNR (senoide em faixa cheia)



## Agradecimentos

Obrigado pela atenção!

**Contato:**

daniel.araujo@unb.br

**Laboratório de Telecomunicações**  
Universidade de Brasília

Dúvidas?



## Referências I

- J. G. Proakis and M. Salehi, *Communication Systems Engineering*. Upper Saddle River, NJ: Pearson, 2nd ed., 2014.
- B. P. Lathi and Z. Ding, *Modern Digital and Analog Communication Systems*. New York: Oxford University Press, 4th ed., 2009.
- C. E. Shannon, "Communication in the presence of noise," *Proceedings of the IRE*, vol. 37, no. 1, pp. 10–21, 1949.
- H. Nyquist, "Certain topics in telegraph transmission theory," *Transactions of the AIEE*, vol. 47, no. 2, pp. 617–644, 1928.



## Referências II

-  W. R. Bennett, "Spectra of quantized signals," *Bell System Technical Journal*, vol. 27, no. 3, pp. 446–472, 1948.
-  A. V. Oppenheim and R. W. Schafer, *Discrete-Time Signal Processing*. Upper Saddle River, NJ: Prentice Hall, 2nd ed., 1999.
-  S. Haykin and M. Moher, *Communication Systems*. Hoboken, NJ: Wiley, 5th ed., 2013.